

ویژه‌نامه توسعه زنجیره فناوری‌های هیدروژنی

پلاسما ریفورمینگ متان و ارائه سنتیک ظاهری واکنش تجزیه حرارتی متان به هیدروژن و کربن

مهسا خیرالهی وش، محمد مهدی مشرفی و فریبرز رشیدی*

دانشکده مهندسی شیمی، دانشگاه صنعتی امیرکبیر، تهران، ایران

تاریخ دریافت: ۱۴۰۳/۰۲/۱۵ تاریخ پذیرش: ۱۴۰۳/۰۴/۲۷

چکیده

امروزه تولید هیدروژن به عنوان یکی از حامل‌های انرژی پاک مورد توجه بسیاری قرار گرفته است. فرآیند سنتی تولید هیدروژن ریفورمینگ متان با بخار آب می‌باشد. انتشار حجم عظیمی از دی اکسید کربن و دو مرحله‌ای بودن این فرآیند از نارسایی‌های موجود در این روش است که این امر موجب توجه بیشتر محققان به تبدیل مستقیم متان به هیدروژن شده است. فن‌آوری پلاسما به دلیل عدم نیاز به کاتالیست، عدم حساسیت به ناخالصی‌های خوراک ورودی، حجم کم واحد عملیات، راهاندازی سریع و تک مرحله‌ای بودن فرآیند کاهش شکرف هزینه‌های سرمایه‌گذاری را به همراه داشته است و پتانسیل جایگزین شدن فن‌آوری‌های رایج کنونی را دارد. در این مقاله تولید گاز هیدروژن از متان با استفاده از راکتور پلاسمای تخلیه قوسی بررسی شده است که راکتور طراحی شده امکان بررسی تأثیر مواردی چون دوری از حالت تعادل و سرعت گاز عبوری را بر میزان درصد تبدیل متان و انتخاب پذیری هیدروژن و همچنین بازدهی انرژی فراهم کرده و افق جدیدی را از نقطه نظر مدل‌سازی و پدیده شناختی فرآیندهای پلاسما شیمی رقم زده است. نتایج حاصل از آزمایشات نشان می‌دهد که راکتور پلاسمای پیشنهادی منجر به بهبود بازدهی انرژی در مقایسه با نمونه‌های قبلی شده است. بازدهی تولید هیدروژن در راکتور با الکترود دیسکی ۵۸٪ بدست آمد. محصول گازی عمدتاً هیدروژن با انتخاب پذیری بالای ۹۵٪ است و درصد اندکی از هیدروکربن‌های اتان، اتیلن و استیلن تولید شده که قابل صرف‌نظر است. کربن جامد با اندازه ذرات متوسط ۳۰-۵۰ nm روی الکترودها و جداره داخلی راکتور ایجاد شده که شامل کربن آمورف و کربن گرافیتی است. از تفسیر ماکروسکوپیک نتایج استنباط می‌شود که انتقال جرم در میزان تبدیل متان نقش مهمی دارد. بر این اساس یک رابطه تجربی برای تابعیت ثابت سینتیک ظاهری با شدت جریان ورودی ارائه شده است.

کلمات کلیدی: هیدروژن، دوده، متان، پلاسما، سینتیک ظاهری

مقدمه

مخالف منعطف گردیده است. شاید بتوان پدیده گرمایش زمین را به عنوان مهم‌ترین دلایل استفاده از هیدروژن به جای سوخت‌های فسیلی بیان کرد. متان که عمدت گاز طبیعی را تشکیل می‌دهد، گزینه مناسبی جهت تولید هیدروژن است.

در سال‌های اخیر توجه زیادی به استفاده از هیدروژن به عنوان یکی از منابع انرژی و سوخت در فرآیندهای

*مسئول مکاتبات rashidi @aut.ac.ir
آدرس الکترونیکی
شناسه دیجیتال: (DOI: 10.22078/pr.2024.5444.3422)

پژوهش نفت

شماره ۱۴۰، فروردین و اردیبهشت ۱۴۰۴، صفحه ۲۴-۳۳

متان با روش حرارتی $37/8 \text{ kJ/mol}$ می‌باشد لذا تبدیل مستقیم متان به کربن و هیدروژن می‌تواند گزینه‌های جذاب از نقطه نظر اقتصادی و بازدهی انرژی باشد به گونه‌های که می‌تواند حدود ۱۵٪ کاهش بهای تمام شده هیدروژن را به ارمغان آورد. انواع مختلفی از راکتورها در زمینه تبدیلات گازی با استفاده از راکتورهای پلاسما طراحی و مورد بررسی و مطالعه قرار گرفته‌اند. انواع راکتورهای DBD^۱، کرونا، تخلیه قوسی و مایکروبوو در فرآیندهای مختلف ریفورمینگ خشک متان، ریفورمینگ متان با بخار آب، اکسایش جزئی متان و فرآیندهای ترکیبی بدون استفاده از کاتالیست و یا همراه استفاده از کاتالیست آزمایش شده‌اند. در ادامه مطالعات چند سال اخیر آورده شده است. هوانگ و همکارانش^[۲] ریفورمینگ خشک متان در راکتور پلاسمای جت قوسی را بررسی کرده‌اند. نویسنده‌گان این مقاله بر مشکلات روش‌های کاتالیستی در مقایسه با راکتورهای پلاسما اذعان دارند. در آزمایشات توان پلاسما، نسبت مولی CO_2/CH_4 وجود اکسیژن در خوارک و شدت جریان خوارک ورودی به عنوان پارامترهای آزمایش در نظر گرفته شده است. بسر و همکارانش^[۳] راکتور میکروپلاسما را جهت ریفورمینگ هیدروکربن‌ها و تولید هیدروژن خاص مصارف پیل سوختی بررسی کردند.

زیرا نسبت وزنی C/H در مولکول متان نسبت به سایر هیدروکربن‌ها بیشتر است. واحدهای صنعتی مختلفی با گستره وسیعی از خوارک‌های هیدروکربنی از هیدروکربن‌های سنگین گرفته تا گاز طبیعی جهت تولید هیدروژن موجود می‌باشند. فرآیند رایج و سنتی تولید هیدروژن، ریفورمینگ با بخار است که به عنوان نمونه توسط صابری و همکارانش در حضور کاتالیست نیکل انجام پذیرفته است^[۴]. اما بنا به مواردی چون مسومومیت کاتالیست، وزن بالا، هزینه بالا و غیره تحقیقات گسترده‌ای جهت امکان‌سنجی تولید هیدروژن با بازدهی بالاتر نیاز است. در این میان، تبدیل هیدروکربن با استفاده از پلاسما از گزینه‌های نامزد جهت تولید هیدروژن از متان در هر مقیاس عملیاتی می‌باشد. در ریفورمینگ پلاسمایی متان، با اعمال میدان‌های الکتریکی قوی، در کسری از ثانیه شاهد تشکیل آبشار الکترونی هستیم که متعاقباً الکترون‌ها، یون‌ها و رادیکال‌های پر انرژی حاصل از تخلیه الکتریکی منجر به شکستن پیوندهای بین کربن و هیدروژن در مولکول متان می‌شوند. در **جدول ۱** نشان داده شده که از میان روش‌های مرسوم تولید هیدروژن، ریفورمینگ با بخار آب دارای بازدهی بیشتر و هزینه کمتر است. از طرفی گرمای واکنش تبدیل با بخار آب $63/3 \text{ kJ/mol}$ است این در حالی است که گرمای واکنش تبدیل مستقیم

جدول ۱ روش‌های تولید هیدروژن و هزینه‌های آن^[۲]

تکنولوژی مورد استفاده	٪ بازدهی انرژی	قیمت فروش هیدروژن (\$/kg)
ریفورمینگ با بخار آب	٪ ۸۳	۰/۷۵
اکسایش جزئی متان	٪ ۷۰-۸۰	۰/۸
ریفورمینگ خودبه‌خودی	٪ ۷۱-۷۴	۱/۹۳
گازسازی زغال سنگ	٪ ۶۳	۰/۹۲
گازسازی زیست توده ^۲	٪ ۴۰-۵۰	۱/۲۱ - ۲/۴۲
الکترولیز	٪ ۴۵-۵۵	۱/۹۵
روش‌های فوتوكاتالیستی	٪ ۱۰-۱۴	۴/۹۸

1. Biomass

2. Dielectric Barrier Discharge

متان از راکتور DBD استفاده کرده‌اند که البته اثر همزمان کاتالیست و پلاسما هم بررسی شده است. ژانگ و همکارانش [۱۲] تجزیه متان در گاز نیتروژن را با استفاده از تخلیه قوسی لغزشی دوار جهت تولید هیدروژن آزمایش کرده‌اند. دو نیروی ناشی از جریان مماسی خوراک ورودی و میدان مغناطیسی اطراف راکتور منجر به حرکت تخلیه الکتریکی می‌گردد. بار مقاومت، نسبت N_2/CH_4 و شدت جریان خوراک از پارامترهای آزمایش می‌باشد. نویسنده‌گان مدعی می‌باشند که ساختار پیشنهادی قابلیت نیل به اهداف صنعتی را دارد. کرولو [۱۳] با مطالعه و بررسی انواع تحقیقات در زمینه جت‌های پلاسما در جریان گازی کاربردهای این فن‌آوری را به صورت تقریباً جامعی بیان نموده است. وی از جمله کاربردهای مطرح این فن‌آوری را تولید گونه‌های فعال شیمیایی جهت انجام واکنش‌های ثانویه^۱، ریفورمینگ هیدروکربن‌ها، بهبود احتراق^۲ و همچنین اصلاح سطوح و کاربردهای بیولوژیکی و دارویی بیان نموده است. وانگ و همکارانش [۱۴] امکان ریفورمینگ متان با استفاده از راکتورهای کوچک مقیاس پلاسما به صورت صنعتی را مورد مطالعه قرار داده‌اند و بیان داشته‌اند در صورت تأمین توان الکتریسیته مورد نیاز پلاسما از طریق انرژی‌های نو، این فن‌آوری قابلیت رقابت با روش‌های رایج کنونی را دارد با این مزیت که در ظرفیت تولید یکسان واحد عملیاتی کوچکتر است. برومبرگ و همکارانش [۱۵] در انسیتو فن‌آوری ماساچوست پس از انجام مطالعات در حوزه پلاسمای دمایی جهت تبدیلات گازی در نهایت به این نتیجه رسیدند که سیستم‌های بر پایه پلاسمای سرد از بازدهی انرژی بالاتری برخوردارند. آنها با استفاده از پلاسماترون‌ها خوراک‌های متعددی از هیدروکربن‌ها مانند متان [۱۵] دیزل [۱۶] پروپان [۱۷] و بیو سوخت مثل اتانول [۱۸] را مورد آزمایش قرار داده‌اند.

1. Post Reaction

2. Plasma Assisted Combustion

این محققین هم بر استفاده از فن‌آوری پلاسما به عنوان راهبرد جایگزین استفاده از کاتالیست تأکید دارند. هیدروکربورهای مدل متان و بوتان می‌باشند. نویسنده‌گان مدعی مشاهدات پدیده‌های کلیدی و جدیدی هستند و البته اذعان دارند که هدف‌شان بهینه‌سازی نبوده و بلکه امکان سنجی اولیه را مدنظر داشته‌اند. بورلیکا و همکارانش [۱۹] تولید هیدروژن از الكل با استفاده از راکتور پلاسمای تخلیه قوسی لغزشی پالسی را مورد بررسی قرار داده‌اند. آنچه که جنبه نوآوری دارد بحث اسپری قطرات خوراک در فاز مایع است که بنا به نظر نویسنده‌گان منجر به افزایش بازدهی نسبت به موارد مشابه می‌شود. افزایش بازدهی انرژی با افزایش دبی متابول از نتایج این مطالعه است. بازدهی نسبتاً پایین سیستم بنا به درصد تبدیل پایین می‌باشد که نویسنده‌گان استفاده از جریان برگشتی را به عنوان راه حل افزایش بازدهی پیشنهاد داده‌اند. پوترا و همکارانش [۲۰] تولید هیدروژن با استفاده از پلاسمای رادیوفرکانسی از هیدرات مтан در فشار اتمسفری را آزمایش کرده‌اند. هیدرات مtan از تزریق مtan به یخ در فشار ۷ MPa و دمای ۰°C به دست آمده است. پلاسما رادیوفرکانسی MHz ۲۷ جهت تولید هیدروژن استفاده شده است. گاز هیدروژن با خلوص ۵۵٪ در درصد تبدیل ۴۰٪ مtan حاصل شده است که در این شرایط عملیاتی توان پلاسما W ۱۵۰ بوده است. همچنین در مطالعاتی با استفاده از پلاسمای میکروویو و خوراک‌های مtan و اتانول موفق به تولید هیدروژن شده‌اند [۲۱-۲۷]. تولید هیدروژن با استفاده از اکسایش جزئی مtan و راکتور پلاسما قوس لغزشی دوار توسط لی و همکارانش [۲۰] آزمایش شد که چرخش تخلیه الکتریکی بنا به اجبار رژیم سیالاتی راکتور است. مصرف حداقل انرژی L/kJ ۸/۲۳ در شدت جریان خوراک ۱۶ L/min گزارش شده است که البته مقدار بهینه سیستم نیست. نوزاکی و همکارانش [۲۱] با معرفی فن‌آوری پلاسما به عنوان کاتالیست در تبدیل

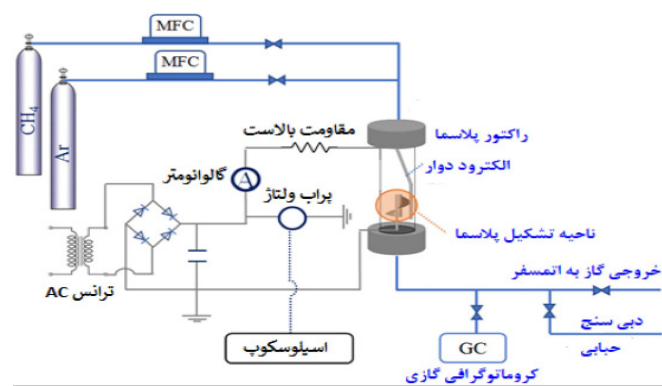
پژوهش نفت

شماره ۱۴۰، فروردین و اردیبهشت ۱۴۰۴، صفحه ۲۴-۳۱

مقاله در راستای شناسایی چالش‌های تولید پربازدۀ هیدروژن از یک طرف و ارائه راه حل‌های مختلف نیل به این مهم گام برمی‌دارد. همچنین از نقطه نظر پدیده شناختی فرآیند پلاسما-شیمی نیز نظریه‌هایی را مطرح خواهد کرد.

روش کار

در هر بخش طراحی و انجام آزمایشات جهت تعیین اثر پارامترهای مؤثر مانند زمان ماند، هندسه راکتور و شکل الکترودها بر میزان درصد تبدیل متان و انتخاب پذیری هیدروژن و بازدهی انرژی انجام پذیرفته است. همچنین، استخراج روابط پارامترهای مؤثر سیستم و بازدهی انرژی و مدل‌سازی تبدیل متان با استفاده از راکتور پلاسما از گزارشات این مقاله است. تحلیل داده‌ها براساس اصول حاکم بر علم طراحی راکتور و روابط مربوط به انتقال پدیده‌ها انجام پذیرفته است. سامانه آزمایشگاهی جهت تبدیل متان به هیدروژن با استفاده از راکتور پلاسمای غیر تعادلی همگن طراحی و با رعایت نکات فنی و مهندسی ساخته شده است. سامانه آزمایشگاهی طراحی شده از چهار بخش زیر تشکیل شده است: سیستم تأمین خوراک، راکتور پلاسما (به منزله قلب واحد)، سیستم تأمین توان پلاسما، واحد آنالیز محصولات. در [شکل ۱](#) نمای کلی مربوط به سامانه آزمایشگاهی طراحی شده برای انجام آزمایشات نشان داده شده است.



شکل ۱ سامانه آزمایشگاهی طراحی شده

آنها همچنین کاتالیست‌های پلاتین و پالادیوم بر پایه سرامیک را استفاده کردند. تمامی آزمایشات در فشار اتمسفری انجام گرفت. یک گروه تحقیقاتی به سرپرستی فریدمن با استفاده از فن‌آوری‌های کرونا [۲۰] و تخلیه تابان [۲۱ و ۲۲] در زمینه فرآیندهای تبدیلات گازی تحقیقات کاربردی را به انجام رسانیده‌اند. در راکتور پلاسمای تخلیه تابان گردابه معکوس طراحی شده توسط این مجموعه از فن‌آوری پیشرفته‌ای استفاده شده است. خوراک گازی این راکتور می‌تواند انواع هیدروکربن‌های گازی خصوصاً متان باشد. رژیم سیالاتی داخل راکتور برگرفته از گردابه طبیعی می‌باشد که در حقیقت در داخل راکتور اصول کلی حاکم بر گردباد برقرار است. در تحقیق مقایسه‌ای جامعی که توسط پتیپاس و همکارانش [۲۳] انجام پذیرفته است ۱۲۱ مقاله علمی بررسی شده است که بازدهی انرژی بین ۴۹٪ تا ۷۹٪ را گزارش کرده‌اند. در میان انواع راکتورهای پلاسما بنا بر ادعای پتیپاس و همکارانش راکتورهای پلاسما از نوع تخلیه الکتریکی قوسی^۱ در تبدیل متان از بالاترین بازدهی برخوردار می‌باشند. هرچند که هنوز این حوزه از فن‌آوری نیازمند انجام تحقیقات گسترده‌تر جهت افزایش بازدهی انرژی و پایداری عملیات می‌باشد. در این تحقیقات عموماً به گزارش نتایج به دست آمده پرداخته شده است و از منظر پدیده شناختی راکتورهای پلاسما نیز فعالیت مورد قبولی انجام نگرفته است. لذا این

الکترود (طول تخلیه) ثابت بماند. سایز الکترودها در سه ساختار مختلف a، b و c به صورت زیر می‌باشد:

(a) قطر تیوب: ۹۰ mm و قطر دیسک ۷۴ mm

(b) قطر تیوب: ۵۶ mm و قطر دیسک ۴۰ mm

(c) قطر تیوب: ۲۶ mm و قطر دیسک ۱۰ mm

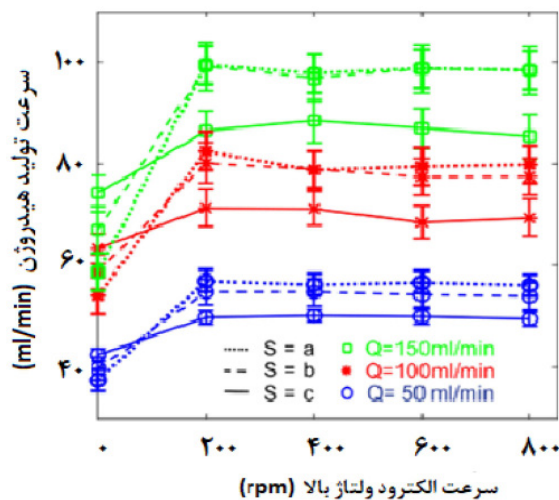
تأثیر این پارامترها بر میزان تبدیل متان، و بازدهی انرژی که معیاری از عملکرد راکتور هستند بررسی شده است.

نتایج و بحث

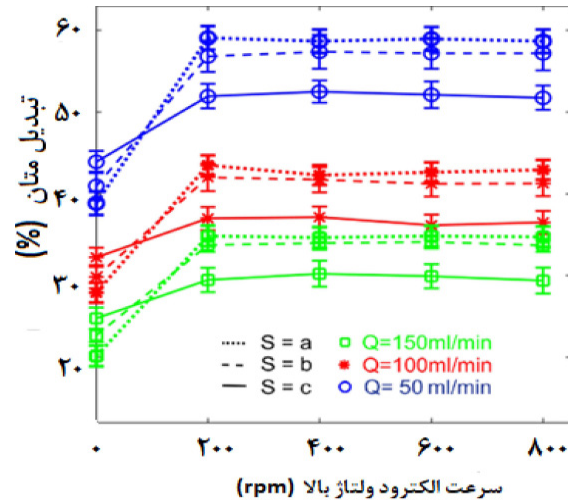
میزان تبدیل متان به هیدروژن و کربن

شکل‌های ۲، ۳ و ۴ به ترتیب درصد تبدیل متان، شدت جریان تولید هیدروژن و کربن را بر حسب سرعت‌های مختلف چرخش الکترود دیسکی در شدت جریان‌های مختلف خوارک و سطح مقطع‌های متفاوت راکتور نشان می‌دهد. با توجه به شکل‌ها با تغییر سرعت چرخش الکترود از ۰ به ۲۰۰ rpm میزان تبدیل متان به طور چشم‌گیری افزایش پیدا کرده است. در راکتورهای قوسی ثابت، ناحیه‌ای که دور از تخلیه قوس است نمی‌تواند به طور مؤثر در واکنش‌ها شرکت کند و کسری از گاز بدون هیچ تعاملی با قوس از کنار آن عبور می‌کند. در حالی که چرخش قوس که به دلیل چرخش الکترود ولتاژ بالا ایجاد می‌شود، سبب توزیع بهتر گونه‌های فعال شیمیایی می‌شود. چرخش تخلیه پلاسما نه تنها باعث می‌شود که خوارک بیشتری در معرض تخلیه قوس قرار بگیرد بلکه مانع از تجزیه دوباره محصولات می‌شود که در نهایت تبدیل بالاتر در حالت قوس دور به دست می‌آید. از طرف دیگر با افزایش سرعت زاویه‌ای الکترود ولتاژ بالا تغییر محسوسی در تبدیل متان مشاهده نشده است. به نظر می‌رسد که با اعمال سرعت ۲۰۰ rpm اختلاط کامل بدون گرادیان غلظت درجهت تنا بدهست می‌آید و افزایش بیشتر سرعت زاویه‌ای تقریباً بی‌اثر است.

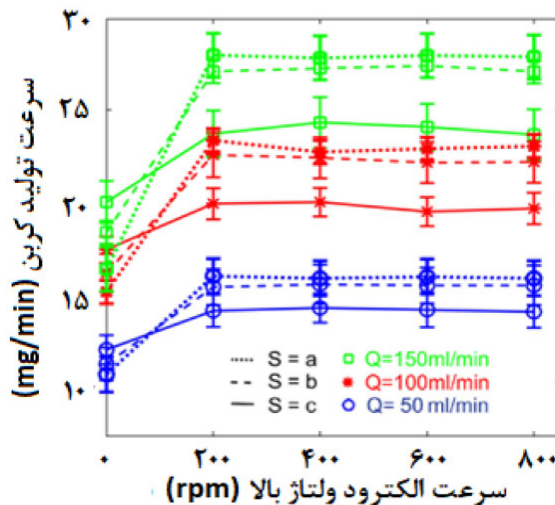
برای انجام آزمایشات، قبل از راهاندازی راکتور، مخلوط متان و آرگون به مدت ۵ min جهت اشباع نمودن راکتور از گاز در مسیر لوله‌ها و راکتور جریان داده می‌شود. به محض اعمال ولتاژ محیط پلاسما تولید می‌شود. عملیات پلاسمایی برای مدت زمان ثابت ۱۰ min از لحظه اعمال ولتاژ ادامه دارد. به محض اعمال اختلاف پتانسیل، واکنش بسیار سریع انجام شده و محصول تولید می‌شود. با قطع ولتاژ اعمالی پلاسما ناپدید شده و واکنش متوقف می‌گردد. آزمایشات در فشار اتمسفری و دمای محیط (۲۵ °C) انجام شده است. هر چند که ناحیه پلاسما در باریکه قوس الکتریکی دمای بسیار بالایی دارد اما دمای جداره راکتور تقریباً هم‌دمای با دمای محیط بوده و تغییرات محسوسی نداشته است. واکنش تجزیه حرارتی متان واکنشی گرم‌گیر بوده که انرژی مورد نیاز شکست پیوندها از طریق پلاسما تأمین می‌شود. پارامترهای مؤثر بر عملکرد راکتور شامل قطر راکتور، نوع و ابعاد الکترود زمین، سرعت چرخش الکترود ولتاژ بالا و شدت جریان خوارک ورودی می‌باشند. در این آزمایشات اثر دبی خوارک ورودی (۱۰۰، ۲۰۰، ۳۰۰ ml/min) و سرعت چرخش الکترود ولتاژ بالا (۸۰۰-۰ rpm) بررسی شده است. با توجه به محدودیت تأمین توان ماکزیمم ۲۰ وات توسط منبع تأمین توان پلاسما، مقادیر دبی خوارک به صورت تجربی در محدوده ۱۰۰-۳۰۰ ml/min انتخاب گردید تا بتوان به درصد تبدیل محسوسی از متان دست یافت. طراحی راکتور براساس چرخش الکترود برای اولین بار در این طرح استفاده شده است و محدوده ۸۰۰-۰ rpm به صورت تجربی و با توجه به پایداری پلاسمای تشکیل شده انتخاب گردیده است. البته همان طور که در نتایج ارائه گردیده دوران الکترود نسبت به حالت ساکن مهم‌ترین تأثیر را داشته و افزایش سرعت تقریباً بی‌تأثیر بوده است. همچنین قطرهای مختلف راکتور و به تناسب آن قطرهای متفاوت الکترود دیسکی انتخاب شده است به طوری که فاصله بین دو



شکل ۳ میزان تولید هیدروژن در شدت جریان‌های مختلف خوراک و سطح مقطع‌های متفاوت



شکل ۲ میزان تبدیل متان در شدت جریان‌های مختلف خوراک و سطح مقطع‌های متفاوت



شکل ۴ میزان تولید کربن در شدت جریان‌های مختلف خوراک و سطح مقطع‌های متفاوت

سطح مقطع راکتور برای گاز عبوری در حالت قوس ثابت، تأثیر منفی بر تبدیل متان دارد که بهدلیل عبور کسر بیشتر گاز بدون تعامل موفق با تخلیه قوس در سطح مقطع‌های بزرگ‌تر است. حداقل تبدیل متان $\approx 58\%$ به دست آمد که به طور قابل توجهی بالاتر از مطالعات قبلی است [۲۴ و ۲۵]. در حقیقت عامل مؤثر بر میزان درصد تبدیل متان، تغییر وضعیت الکترود از حالت ساکن به متحرک می‌باشد و با توجه به اینکه افزایش ۴ برابری سرعت از 200 rpm تا 800 rpm تغییری در درصد تبدیل متان ایجاد نکرده است، می‌توان با اطمینان

با افزایش شدت جریان خوراک، تبدیل متان به صورت غیرخطی کاهش می‌یابد و شیب این روند نزولی کاهشی است. دلیل این رفتار در بخش‌های بعد مورد بحث قرار می‌گیرد. با توجه به شکل با افزایش سطح مقطع عرضی برای گاز عبوری در شدت جریان ثابت خوراک، افزایش جزئی در میزان تبدیل متان مشاهده می‌شود. این نشان می‌دهد که چرخش قوس در سطح مقطع‌های بزرگ‌تر برای عبور گاز، سطح فعال پلاسما را افزایش می‌دهد و مولکول‌های متان شناس بیشتری برای حضور در ناحیه پلاسما دارند. از سوی دیگر، افزایش

عملیاتی در گام‌های بعدی می‌توان طراحی آزمایشات مبنی بر بهینه‌سازی فرآیند را انجام داد. برای اولین بار در این پژوهش با بررسی رفتار سنتیکی فرآیند، لزوم توجه به مقاومت‌های انتقال جرم و افزایش تعامل مؤثر فاز پلاسما و گونه‌های شیمیایی در طراحی راکتورهای پلاسما تاکید شده است که در بخش بعد توضیح داده شده است.

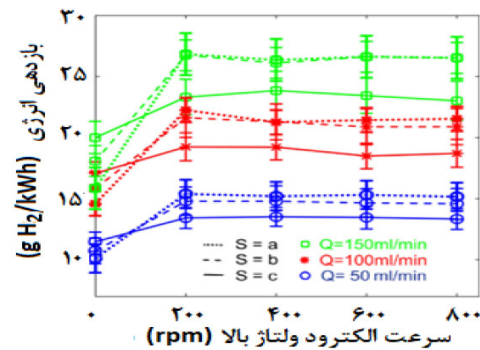
مشخصه‌های فرآیند و چشم اندازی بر مدل‌سازی آن

مقایسه بین زمان مشخصه واکنش‌های پلاسما و زمان ماند واکنش‌دهنده‌ها در راکتور اطلاعات مفیدی را در مورد فرآیند شیمیایی پلاسما فراهم می‌کند. در تحقیق حاضر، زمان ماند گاز داخل منطقه پلاسما براساس کسری از گاز که ممکن است از ستون قوس عبور کند، محاسبه می‌شود. ستون قوس یک رشتہ با قطر حدود ۱ mm و حجم (Vp) در نظر گرفته شده است [۲۶ و ۲۷]. بر این اساس، زمان ماند واکنش‌گرها در ناحیه پلاسما در حدود ۰/۳-۰/۴ ثانیه تخمین زده می‌شود که بسیار طولانی‌تر از مقیاس زمانی^۱ واکنش‌های پلاسما-شیمی است که عموماً در حدود چند ده نانو ثانیه می‌باشد [۲۸-۳۰]. بنابراین، این سوال مطرح می‌شود که چرا تبدیل متان و بازدهی انرژی کمتر از حد مورد انتظار است و چرا علی‌رغم سرعت بالای واکنش‌ها، تبدیل متان تحت تأثیر شدت جریان خوراک می‌باشد. در واقع این گونه استنباط می‌شود که تبدیل متان بهدلیل سرعت نسبتاً کم انتقال جرم بین فاز گاز و پلاسما محدود شده است، مسئله مهمی که در مدل‌سازی سینتیکی پلاسما شیمی به آن توجه نشده است؛ هر چند که بعضی از نویسندگان در تحقیقات خود به آن اشاره کرده‌اند. متین و همکارانش [۳۱] به این نتیجه رسیدند که شیمی فرآیند تنها با سرعت واکنش اداره نمی‌شود زیرا سرعت واکنش بسیار سریع‌تر از آن است.

نتیجه‌گیری کرد که در این شرایط عملیاتی افزایش سرعت دوران ناحیه پلاسما در مکانیزم فرآیند تغییری ایجاد نمی‌کند. **شکل ۴** مقدار تولید کربن را نمایش می‌دهد که کربن جامد با اندازه ذرات متوسط ۳۰-۵۰ nm روی الکترودها و جداره داخلی راکتور انباشته می‌شود و شامل کربن آمورف و کربن گرافیتی است، همان‌طور که انتظار می‌رود چگونگی تغییرات مقدار کربن تولیدی با تغییر شرایط مشابه مقدار تولید هیدروژن در **شکل ۳** می‌باشد.

بازدهی انرژی

شکل ۵ بازدهی انرژی را در سرعت‌های مختلف الکترود، شدت جریان‌های مختلف متان و سطح مقطع‌های مختلف گاز عبوری نشان می‌دهد. بازدهی انرژی در راکتور قوس دوار در سطح مقطع‌های بزرگ‌تر و شدت جریان خوراک بالا به میزان قابل توجهی بهبود یافته است.



شکل ۵ بازدهی انرژی در شدت جریان‌های مختلف خوراک و سطح مقطع‌های متفاوت

شدت جریان متان ۱۵۰ mL/min منجر به کارآمدترین عملکرد با بازدهی انرژی ۲۶/۲۸ kWh/gH می‌شود. شایان ذکر است از آنجا که پدیده ریفورمینگ پلاسمایی نوظهور می‌باشد، در قدم اول هدف اصلی این پژوهش بر پدیده شناسی فرآیند پلاسمایی تبدیل متان متمرکز بوده است و به این منظور طراحی مفهومی فرآیند انجام پذیرفته است. پس از شناسایی رفتار سیستم و تعیین حدود پارامترهای

1. Time Scale

است، میزان مصرف متان (R_{CH_4}) برابر با سرعت انتقال متان به سمت منطقه پلاسما مطابق رابطه ۱ در نظر گرفته شده است.

$$R_{CH_4} = K \cdot C_{CH_4} \cdot A_a \quad (1)$$

در این رابطه (m/s) K ضریب انتقال جرم بین گاز و پلاسما است که از رابطه تجربی ۲ بدست آمده است. C_{CH_4} غلظت متان است که مقدار ثابت $20/4 mol/m^3$ در تمام آزمایشات است.

$$Sh = \frac{Kd_a}{D} = \alpha_0 \cdot Re^m, \quad Re = \frac{\rho F_{CH_4}^{in} d_a}{\mu A} \quad (2)$$

غلظت متان در سطح فاز گاز و پلاسما به دلیل واکنش‌های بسیار سریع در ناحیه پلاسما به صفر می‌رسد (به طور کامل مصرف می‌شود). در روابط فوق، A مساحت سطح مقطع گاز عبوری در مجاورت تخلیه قوس و A_a مساحت سطح فعال بین گاز و پلاسما است. Sh و Re اعداد بی بعد شروع و رینولدز هستند. D ضریب نفوذ مولکولی و α_0 یک ثابت است. d_a به طول مشخصه اشاره دارد که در اینجا به عنوان طول تخلیه mm تعریف شده است. خواص فیزیکی در تمام آزمایشات ثابت در نظر گرفته شده است. براین اساس ضریب انتقال جرم از رابطه ۳ بدست می‌آید. مقدار m با استفاده از برازش منحنی حاصل از نتایج تجربی به دست می‌آید.

$$K = \alpha_0 D d_a^{m-1} \left(\frac{\rho F_{CH_4}^{in}}{\mu A} \right)^m \quad (3)$$

شدت مصرف متان (mol/s) با جایگزینی K از رابطه ۳ در رابطه ۲ تعیین می‌شود و در نتیجه رابطه تبدیل متان توسط رابطه ۴ به دست می‌آید.

$$X_{CH_4} = \frac{R_{CH_4}}{F_{CH_4}^{in}} \times 22400 \times 60 = \alpha_0 D d_a^{m-1} \left(\frac{\rho}{\mu} \right)^m C_{CH_4} \left(F_{CH_4}^{in} \right)^{m-1} \frac{A_a}{A^m} \quad (4)$$

در شرایط عملیاتی ثابت و همچنین یک سطح مقطع ثابت برای عبور گاز، تبدیل متان به رابطه ۵ ساده می‌شود که در آن^۱ پیش فاکتور ثابت است.

1. Bypass

2. Stirred Reactor

که با تغییر شدت جریان در محدوده مورد مطالعه تحت تأثیر قرار گیرد. در برخی مطالعات، جریان کنار گذر^۱ واکنش‌دهنده‌ها را عامل تعامل ناموفق بین فاز پلاسما و واکنش‌دهنده‌ها معرفی کرده‌اند که موجب ناکارامدی عملیات می‌شود. گوردون و همکاران [۳۲] گزارش دادند که با کاهش مقدار جریان کنار گذر گاز از تخلیه قوس تبدیل متان افزایش می‌یابد. اسکاپینلو و همکاران [۳۳] گزارش دادند که فقط مقدار اندکی از گاز واکنش‌دهنده با تخلیه قوس تماس دارد. از این رو، افزایش زمان تماس بین واکنش‌دهنده و فاز پلاسما ممکن است منجر به نتایج امیدوارکننده‌تری شود. سان و همکاران [۳۴] گزارش دادند که تنها کسر کوچکی از گاز که در معرض محیط پلاسما قرار دارد، با موفقیت به محصول تبدیل می‌شود و باقی‌مانده بدون تبدیل عبور می‌کند. مورد مشابهی نیز توسط کلارین و همکارانش [۳۵] گزارش شده است. فینک و همکاران [۲۹] به این نتیجه رسیدند که با تغییر طراحی راکتور به گونه‌ای که رفتار راکتور اختلاطی^۲ را نشان دهد میزان تبدیل بیشتر می‌شود. رابوسکی و همکاران گزارش داند که دستیابی به حداقل بازده انرژی با بهینه‌سازی ساختار راکتور و ایجاد اختلاط مناسب پلاسما با گازها امکان پذیر است. علاوه بر این، محدودیت دیگری در تبدیل متان، تجزیه مولکول‌های محصول در مجاورت پلاسما است. این رویداد اثر بازدارندگی داشته و منطقه فعال شیمیایی پلاسما را کاهش می‌دهد و میزان تبدیل متان کاهش می‌یابد. برای این منظور، برخی از تحقیقات به طرح‌های خاصی از راکتور اشاره کرده‌اند که اجازه می‌دهد گاز تازه در معرض پلاسما قرار گیرد تا از تجزیه محصولات جلوگیری شود [۳۶]. لذا مفهوم انتقال جرم به طور مستقیم یا غیرمستقیم در مقالات ذکر شده اشاره شده است. بنابراین، در مطالعه حاضر، با توجه به اینکه سرعت محدودکننده واکنش، نرخ انتقال جرم بین فاز پلاسما و واکنش‌گرهای در نظر گرفته شده

در آن عدد رینولذ در محدوده شدت جریان‌های خوراک و سطح مقطع عرضی برای عبور گاز در مطالعه حاضر کمتر از ۵ است.

$$Sh = \frac{Kd_a}{D} = \alpha_0 \cdot Re^{0.55}, \quad Re < 5 \quad \sqrt{a^2 + b^2} \quad (7)$$

می‌توان سرعت تبدیل متان را به عنوان یک واکنش شبه درجه اول در رابطه ۸ مطرح کرد که در آن K_{app} ثابت سرعت ظاهری^۱ تجزیه متان در راکتور پلاسما است که با جایگزینی RCH_4 از رابطه ۱ مطابق رابطه ۹ به دست می‌آید.

$$R_{CH_4} = k_{app} C_{CH_4} V_p \quad (8)$$

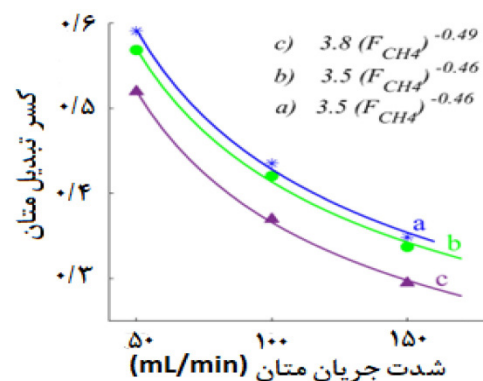
$$k_{app} = [\alpha_0 D (d_a)^{m-1} \left(\frac{\rho}{\mu}\right)^m (F_{CH_4}^{in})^m \frac{A_a}{A^m}] / V_p \quad (9)$$

ثابت سرعت واکنش ظاهری، به عنوان تابعی از شدت جریان خوراک در سطح مقطع‌های مختلف عبور گاز، در شکل ۷ نشان داده شده است. به طور کلی، اگر فرآیند تبدیل پلاسمایی متان به کربن و هیدروژن توسط پدیده انتقال جرم کنترل شود، با افزایش شدت جریان خوراک، ثابت سرعت ظاهری باید افزایش یابد. در این مطالعه نیز ضریب ثابت سرعت ظاهری در حدود $450 - 200 \text{ s}^{-1}$ است که با افزایش جریان خوراک افزایش می‌یابد. نتایج تحقیق حاضر نشان می‌دهد که ساختار راکتور نقش مهمی در دست‌یابی به بازدهی بهتر انرژی دارد. برای این منظور، هدایت واکنش‌دهنده به سمت منطقه پلاسما و افزایش سطح فعال پلاسما می‌تواند ظرفیت تبدیل گاز را افزایش دهد. با توجه به نتایج به دست آمده مشاهده می‌شود که افزایش شدت جریان خوراک و سطح جریان عبوری خوراک منجر به افزایش ضریب سرعت ظاهری واکنش می‌شود. لذا پیشنهاد می‌شود که در طراحی راکتورهای پلاسما افزایش تعامل مؤثر بین فاز پلاسما و واکنش‌گرهای جهت افزایش سرعت ظاهری واکنش‌ها در نظر گرفته شود.

1. Apparent Rate Constant

$$X_{CH_4} = \alpha_l (F_{CH_4}^{in})^{m-1}, \quad \alpha_l = cte \quad (5)$$

با توجه به رابطه ۵، تبدیل متان تابعی از شدت جریان خوراک است. مقدار m را می‌توان برای هر یک از سطح مقطع‌ها با استفاده از برازش منحنی داده‌های تجربی تعیین کرد. شکل ۶ تبدیل متان را بر حسب شدت جریان خوراک در سرعت قوس rpm ۲۰۰ برای سطح مقطع‌های مختلف نشان می‌دهد.



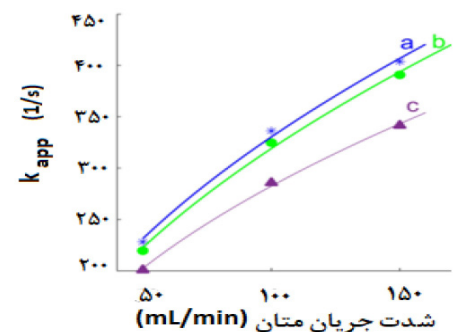
شکل ۶ میزان تبدیل متان به کربن و هیدروژن بر حسب شدت جریان در سطح مقطع‌های مختلف و سرعت زاویه‌ای ۲۰۰ rpm

نقاط نتایج تجربی و خطوط نتایج برازش منحنی را نشان می‌دهد. تابع توانی انتبارا مطلوبی با داده‌های آزمایشگاهی دارد و تبدیل متان را در هر سطح مقطع عرضی پیش‌بینی می‌کند. با توجه به پارامترهای حاصل از برازش منحنی در شکل ۶، مقدار m حدود ۰/۵۵ است. بنابراین، میزان تبدیل متان به صورت رابطه ۶ بازنویسی می‌شود که نشان‌دهنده وابستگی آن به شدت جریان خوراک و سطح فعال منطقه پلاسما (A_a) در هر یک از سطح مقطع‌ها است.

$$X_{CH_4} = \alpha_0 D d_a^{-0.45} \left(\frac{\rho}{\mu}\right)^{0.55} C_{CH_4} (F_{CH_4}^{in})^{-0.45} \frac{A_a}{A^{0.55}} \sqrt{b^2 - 4ac} \quad (6)$$

نتایج آزمایشگاهی نشان می‌دهد که با تغییر سطح مقطع گاز عبوری، میزان تبدیل متان در شدت جریان ثابت خوراک تغییرات چندانی ندارد. این به معنی $A_a^{0.55} = cte$ است یعنی اینکه سطح فعال ناحیه پلاسما تقریباً متناسب با محدود سطح مقطع گاز عبوری ($A_a^{0.55}$) است. بنابراین رابطه انتقال جرم به صورت رابطه ۷ بیان می‌شود که

تبديل متان به طور چشمگیری افزایش پیدا کرده است. در شرایط آزمایشگاهی پژوهش حاضر با استفاده از قوس الکتریکی دوار راکتور توانایی تولید 100 ml/min هیدروژن و 27 mg/min دوده را داشته است. از آنجا که گونه‌های فعال شیمیایی شامل رادیکال‌ها و یون‌ها در ناحیه قوس الکتریکی تولید می‌شوند، چرخش قوس سبب توزیع بهتر گونه‌های فعال شیمیایی می‌شود و به دلیل تعامل بیشتر با جریان خوراک از جریان کنار گذر خوراک تا حدی جلوگیری می‌کند. همچنین مانع از تجزیه دوباره محصولات می‌شود. با تفسیر کمی و کیفی داده‌های حاصل از آزمایشات الکترود دیسکی، انتقال جرم بین فاز گاز و پلاسمای بعنوان عامل محدودکننده تبدیل متان مطرح شده و میزان تبدیل متان به صورت کسری از متان منتقل شده به ناحیه پلاسما تعریف شده است. بر این اساس یک رابطه تجربی برای تابعیت ضریب ثابت سینتیک ظاهری با شدت جریان ورودی به دست آمده که در حدود $450 - 200 \text{ s}^{-1}$ است. از نقطه نظر پدیده شناختی پلاسما شیمی، فرآیند تجزیه متان در راکتور پلاسما از نگرش ماکروسکوپیک بررسی شد. این گونه نتیجه‌گیری گردید که در ناحیه پلاسما صدرصد متان واکنش داده و درصد تبدیل متان برابر با درصدی از متان است که برهم کنش مناسبی با ناحیه پلاسما داشته است. این دیدگاه به صورت کمی با سینتیک ظاهری واکنش درجه اول مدل‌سازی شد.



شکل ۷ ثابت سرعت واکنش بر حسب شدت جریان در سطح مقطع‌های مختلف و سرعت زاویه‌ای 200 rpm

هر چند که آزمایشات پژوهش حاضر دارای رژیم سیالاتی جریان آرام بوده، اما با توجه به تأثیر انتقال جرم بر سنتیک واکنش‌ها، توربالنسی جریان و افزایش اغتشاشات نیز می‌تواند یک عامل مؤثر در افزایش سرعت ظاهری واکنش‌ها باشد.

نتیجه‌گیری

با هدف پدیده‌شناسی فرآیند تجزیه پلاسما می‌متان طراحی مفهومی آزمایشات در این پژوهش انجام پذیرفت. پیش‌بینی می‌شد که سنتیک واکنش تجزیه پلاسما می‌متان، از نوع سنتیک ظاهری واکنش بر پایه مقاومت انتقال جرم باشد. برای اثبات این فرضیه ساختار خاصی از راکتور پلاسما با الکترود میله‌ای که به دور یک الکترود دیسک دوران می‌کند طراحی و آزمایشات انجام پذیرفت. در راکتور با الکترود دیسکی با تغییر سرعت چرخش الکترود از 0 به 200 rpm میزان

مراجع

- [1]. صابری مقدم، ع.، زارع چاوشی، م.، نوذری، ع.، شیخی نارانی، م.، خبری، و. و بحری رشت‌آبادی، م. م. ۲۰۱۷). بررسی تولید هیدروژن با استفاده از فرایند ریفرمینگ بخار آب با متان در حضور کاتالیزور نیکل در دماهای متوسط. پژوهش نفت، ۲۶، ۴-۹۵.
- [2]. Abbas, H. F., & Daud, W. W. (2010). Hydrogen production by methane decomposition: A review. International Journal of Hydrogen Energy, 35(3), 1160-1190. doi.org/10.1016/j.ijhydene.2009.11.036.
- [3]. Hwang, N., Song, Y. H., & Cha, M. S. (2010). Efficient Use of \$\\hbox{CO}_2\$ Reforming of Methane With an Arc-Jet Plasma. IEEE Transactions on Plasma Science, 38(12), 3291-3299.
- [4]. Besser, R. S., & Lindner, P. J. (2011). Microplasma reforming of hydrocarbons for fuel cell power. Journal of Power Sources, 196(21), 9008-9012. doi.org/10.1016/j.jpowsour.2010.11.135.

- [5]. Burlica, R., Shih, K. Y., Hnatiuc, B., & Locke, B. R. (2011). Hydrogen generation by pulsed gliding arc discharge plasma with sprays of alcohol solutions. *Industrial & Engineering Chemistry Research*, 50(15), 9466-9470. doi.org/10.1021/ie101920n.
- [6]. Putra, A. E. E., Nomura, S., Mukasa, S., & Toyota, H. (2012). Hydrogen production by radio frequency plasma stimulation in methane hydrate at atmospheric pressure. *International Journal of Hydrogen Energy*, 37(21), 16000-16005. doi.org/10.1016/j.ijhydene.2012.07.099.
- [7]. Jasiński, M., Czylkowski, D., Hrycak, B., Dors, M., & Mizeraczyk, J. (2013). Atmospheric pressure microwave plasma source for hydrogen production. *International Journal of Hydrogen Energy*, 38(26), 11473-11483. doi.org/10.1016/j.ijhydene.2013.05.105.
- [8]. Jimenez, M., Rincon, R., Marinas, A., & Calzada, M. D. (2013). Hydrogen production from ethanol decomposition by a microwave plasma: Influence of the plasma gas flow. *International Journal of Hydrogen Energy*, 38(21), 8708-8719. doi.org/10.1016/j.ijhydene.2013.05.004.
- [9]. Hrycak, B., Czylkowski, D., Miotk, R., Dors, M., Jasinski, M., & Mizeraczyk, J. (2014). Application of atmospheric pressure microwave plasma source for hydrogen production from ethanol. *International Journal of Hydrogen Energy*, 39(26), 14184-14190. doi.org/10.1016/j.ijhydene.2014.02.160.
- [10]. Li, X. D., Zhang, H., Yan, S. X., Yan, J. H., & Du, C. M. (2012). Hydrogen production from partial oxidation of methane using an AC rotating gliding arc reactor. *IEEE Transactions on plasma science*, 41(1), 126-132.
- [11]. Nozaki, T., & Okazaki, K. (2013). Non-thermal plasma catalysis of methane: Principles, energy efficiency, and applications. *Catalysis today*, 211, 29-38. doi.org/10.1016/j.cattod.2013.04.002.
- [12]. Zhang, H., Du, C., Wu, A., Bo, Z., Yan, J., & Li, X. (2014). Rotating gliding arc assisted methane decomposition in nitrogen for hydrogen production. *International journal of hydrogen energy*, 39(24), 12620-12635. doi.org/10.1016/j.ijhydene.2014.06.047.
- [13]. Korolev, Y. D. (2015). Low-current discharge plasma jets in a gas flow. *Application of plasma jets*. Russian Journal of General Chemistry, 85, 1311-1325.
- [14]. Wang, Q., Spasova, B., Hessel, V., & Kolb, G. (2015). Methane reforming in a small-scaled plasma reactor-industrial application of a plasma process from the viewpoint of the environmental profile. *Chemical Engineering Journal*, 262, 766-774. doi.org/10.1016/j.cej.2014.09.091.
- [15]. Alharbi, A. A., Alqahtani, N. B., Alkhedhair, A. M., Alabduly, A. J., Almaleki, A. A., Almadih, M. H., Al-bishi, M.S. and Almayeef, A. A. (2022). A developed plasmatron design to enhance production of hydrogen in synthesis gas produced by a fuel reformer system. *Energies*, 15(3), 1071. doi.org/10.3390/en15031071.
- [16]. Bromberg, L., Cohn, D. R., Hadidi, K., Heywood, J. B., & Rabinovich, A. (2005). Plasmatron fuel reformer development and internal combustion engine vehicle applications. Diesel Engine Emission Reduction (DEER) Workshop, 2004.
- [17]. Bromberg, L. (2005). CFD modeling of plasmatron methane reformer.
- [18]. Bromberg, L., Hadidi, K., & Cohn, D. R. (2005). Plasmatron reformation of renewable fuels.
- [19]. Sobacchi, M. G., Saveliev, A. V., Fridman, A. A., Kennedy, L. A., Ahmed, S., & Krause, T. (2002). Experimental assessment of a combined plasma/catalytic system for hydrogen production via partial oxidation of hydrocarbon fuels. *International Journal of Hydrogen Energy*, 27(6), 635-642. doi.org/10.1016/S0360-3199(01)00179-3.
- [20]. Mutaf-Yardimci, O., Saveliev, A. V., Fridman, A. A., & Kennedy, L. A. (1998). Employing plasma as catalyst in hydrogen production. *International Journal of Hydrogen Energy*, 23(12), 1109-1111. doi.org/10.1016/S0360-3199(98)00005-6.
- [21]. Iskenderova, K., Porshnev, P., Gutsol, A., Saveliev, A., Fridman, A., Kennedy, L., & Rafael, T. (2001). Methane conversion into syn-gas in gliding arc discharge.
- [22]. Kalra, C. S., Gutsol, A. F., & Fridman, A. A. (2005). Gliding arc discharges as a source of intermediate plasma for methane partial oxidation. *IEEE transactions on plasma science*, 33(1), 32-41.
- [23]. Petitpas, G., Rollier, J. D., Darmon, A., Gonzalez-Aguilar, J., Metkemeijer, R., & Fulcheri, L. (2007). A comparative study of non-thermal plasma assisted reforming technologies. *International Journal of Hydrogen Energy*, 32(14), 2848-2867. doi.org/10.1016/j.ijhydene.2007.03.026.
- [24]. Moshrefi, M. M., Rashidi, F., Bozorgzadeh, H. R., & Zekordi, S. M. (2012). Methane conversion to hydrogen and carbon black by DC-spark discharge. *Plasma Chemistry and Plasma Processing*, 32, 1157-1168.
- [25]. Moshrefi, M. M., & Rashidi, F. (2018). Hydrogen production from methane decomposition in cold plasma reactor with rotating electrodes. *Plasma Chemistry and Plasma Processing*, 38, 503-515.
- [26]. Rueangjitt, N., Sreethawong, T., Chavadej, S., & Sekiguchi, H. (2011). Non-oxidative reforming of methane in a mini-gliding arc discharge reactor: effects of feed methane concentration, feed flow rate, electrode gap distance, residence time, and catalyst distance. *Plasma Chemistry and Plasma Processing*, 31, 517-534.

- [27]. Lee, D. H., Song, Y. H., Kim, K. T., & Lee, J. O. (2013). Comparative study of methane activation process by different plasma sources. *Plasma Chemistry and Plasma Processing*, 33, 647-661.
- [28]. Farouk, T., Farouk, B., & Fridman, A. (2010). Computational studies of atmospheric-pressure methane–hydrogen DC micro glow discharges. *IEEE Transactions on Plasma Science*, 38(2), 73-85.
- [29]. Fincke, J. R., Anderson, R. P., Hyde, T., Detering, B. A., Wright, R., Bewley, R. L., Haggard, D.C. & Swank, W. D. (2002). Plasma thermal conversion of methane to acetylene. *Plasma Chemistry and Plasma Processing*, 22, 105-136.
- [30]. Kim, H. H., Teramoto, Y., Ogata, A., Takagi, H., & Nanba, T. (2016). Plasma catalysis for environmental treatment and energy applications. *Plasma Chemistry and Plasma Processing*, 36, 45-72.
- [31]. Fridman, A., Nester, S., Kennedy, L. A., Saveliev, A., & Mutaf-Yardimci, O. (1999). Gliding arc gas discharge. *Progress in Energy and combustion Science*, 25(2), 211-231. doi.org/10.1016/S0360-1285(98)00021-5.
- [32]. Rusu, I., & Cormier, J. M. (2003). On a possible mechanism of the methane steam reforming in a gliding arc reactor. *Chemical Engineering Journal*, 91(1), 23-31. doi.org/10.1016/S1385-8947(02)00043-8.
- [33]. Scapinello, M., Delikontstantis, E., & Stefanidis, G. D. (2017). The panorama of plasma-assisted non-oxidative methane reforming. *Chemical Engineering and Processing: Process Intensification*, 117, 120-140. doi.org/10.1016/j.cep.2017.03.024.
- [34]. Sun, S. R., Wang, H. X., Mei, D. H., Tu, X., & Bogaerts, A. (2017). CO₂ conversion in a gliding arc plasma: Performance improvement based on chemical reaction modeling. *Journal of CO₂ Utilization*, 17, 220-234. doi.org/10.1016/j.jcou.2016.12.009.
- [35]. Cleiren, E., Heijkers, S., Ramakers, M., & Bogaerts, A. (2017). Dry reforming of methane in a gliding arc plasmatron: towards a better understanding of the plasma chemistry. *ChemSusChem*, 10(20), 4025-4036. doi.org/10.1002/cssc.201701274.
- [36]. Kalra, C. S., Cho, Y. I., Gutsol, A., Fridman, A., & Rufael, T. S. (2005). Gliding arc in tornado using a reverse vortex flow. *Review of Scientific Instruments*, 76(2). doi.org/10.1063/1.1854215.



Special Issues on the Development of the Hydrogen Technology Chain

Petroleum Research

Petroleum Research, 2025(April-May), Vol. 35, No. 140, 3-6

DOI: 10.22078/pr.2024.5444.3422

Plasma Reforming of Methane and the Apparent Kinetics of Methane Dissociation to Hydrogen and Carbon Black

Mahsa Kheirollahivash, Mohammad Mahdi Moshrefi and Fariborz Rashidi*

Chemical Engineering Department, Amirkabir University of Technology, Tehran, Iran

rashidi@aut.ac.ir

DOI: 10.22078/pr.2024.5444.3422

Received: August 21, 2023

Accepted: October 11, 2023

Introduction

Greenhouse gases emission and energy insufficiency are among the major concerns regarding fossil fuel utilization. In addition, CO₂ is the main contributor of greenhouse gases with 76% of total emission. Moreover, methane consumption produces the least amount of CO₂ compared to other fossil fuels and has the potential of reforming into hydrogen which can be utilized in internal combustion engines, fuel cell technology, gas turbines and etc. Furthermore, conventional method of producing hydrogen from natural gas is steam reforming followed by water gas shift reaction. However, a large amount of CO₂ emission and energy consumption are drawbacks of the process. In the recent decades, hydrogen production from plasma reforming of gaseous hydrocarbons has attracted attention.

Dae Hoon et al. [1] showed that in plasma reforming of methane, the AC spark and rotating arc caused higher methane conversion and lower operational costs compared to other plasma sources. They evaluated the effect of arc length on C₂ selectivity in the rotating gliding arc system and proposed that the discharge length plays an important role in controlling chemical reactions.

Materials and Methods

An overall schematic of the experimental setup is shown in Fig. 1. Moreover, the apparatus includes feed supply system, power supply system and the reactor. Feed supply system consists of gas cylinders, mass flow

controller (Brooks 5850), steel tubes, on/off valves and connections. Furthermore, an AC transformer (up to 12 kV) is employed to provide high voltage. In addition, the output voltage of the transformer is manually coupled by diode and capacitor to make DC power supply. In addition, the plasma power is measured through a high voltage probe (PINTEK HVP-39pro), an oscilloscope (GW Instek, GOS-620), and a galvanometer. Furthermore, the plasma power is tuned to be 20 W in all experiments. Moreover, the reactor and ballast resistor (1MΩ) are connected in series in order to prevent a sudden current rise which can damage the transformer. Methane and argon with purity of 99.999% are supplied from separate gas tanks by mass flow controllers and are perfectly mixed before flowing into the reactor at ambient temperature and atmospheric pressure. Moreover, feed flow rates of 100, 200 and 300 ml/min with ratio of CH₄/Ar =1 are studied. The output flow rate of the reactor is measured by a bubble flow meter. Gaseous product is analyzed by a gas chromatograph (GC, Agilent) equipped with a flame ionization detector (FID) and a thermal conductivity detector (TCD).

Results and Discussion

Methane Conversion

Fig. 2 shows methane conversion versus electrode angular velocity at various methane flow rates and cross-sectional areas for the passing gas. Methane conversion considerably increased by changing the arc mode from stationary to rotating.

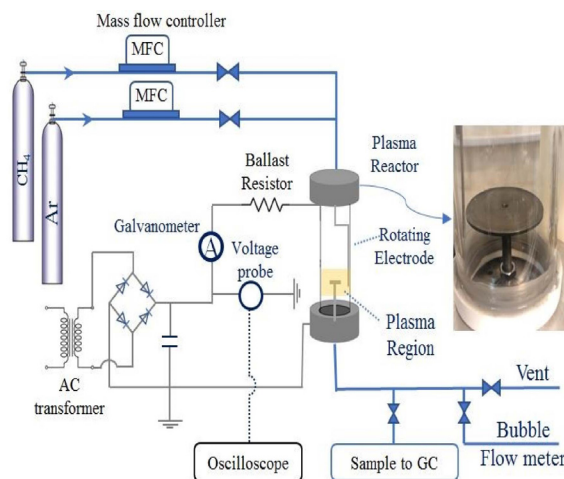


Fig.1 Experimental set-up

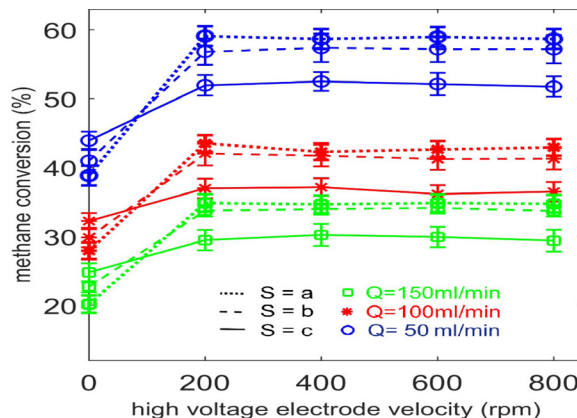


Fig. 2 Methane conversion.

In the reactors with stationary arc, the zone away from the arc discharge cannot efficiently participate in the reactions and a fraction of gas bypasses the arc stream without any successful interaction. Whereas, the rotation of arc due to rotation of HV electrode causes a better distribution of active species. Scan of the reactant by the plasma zone not only permits the fresh gas to be exposed to the arc discharge but also prevents dissociation of products. Eventually a higher conversion is achieved in the rotating arc mode. No significant change in methane conversion was noticed by increasing the angular velocity of the HV electrode. It seems that perfect mixing with no concentration gradient in the theta (θ) direction is achieved at a velocity of 200 rpm and further increase in angular velocity was almost ineffective. Methane conversion decreases by increasing feed flow rate and the slope of this descending trend reduces as feed flow rate increases. This implies nonlinear relationship between methane conversion and feed flow rate that will be discussed phenomenologically and quantitatively in the later sections. Moreover, a slight rise in conversion occurs by increasing the cross-sectional area for the passing gas at constant flow rate as shown in [Fig. 2](#). This suggests that arc rotation at larger areas for

passing gas increase the active surface of the plasma zone and provides a higher chance for the methane molecules to be scanned by plasma zone. On the other hand, increasing cross-sectional area for the passing gas at stationary mode has in fact diverse effect on the methane conversion. Also, this is due to higher bypass of reactant from arc discharge without successful interaction with arc column at larger areas. In addition, methane conversion of 58% was achieved which is considerably higher than those reported in previous studies.

Process Characterization and Modeling Perspective

Comparison between the characteristic time of plasma reactions and residence time provides useful information on the plasma chemistry process. In order to estimate the order of gas processing time in the present study, the residence time of gas inside the plasma zone is calculated based on the fraction of gas that might pass through the arc column. Moreover, the residence time is estimated to be 0.2-3.9 s which is much longer than the time needed in plasma chemistry process that is generally about several tens nanoseconds [2-4]. Therefore, one might question why the conversion and the energy efficiency are below the expected range and how the feed flow rate affects the conversion. In fact, conversion is restricted due to the relatively low mass transfer rate between the gas and plasma phase, which some authors have implied in their publications. In view of aforementioned, concept of mass transfer have been directly or indirectly emphasized in all of the above publications. Therefore, in the present study, it was assumed the rate of methane consumption (R_{CH_4}) to be as the rate of methane transfer toward plasma zone according to Equation 1, where K (m/s) is the mass transfer coefficient between the gas and plasma obtained from the empirical Equation 2. Furthermore, C_{CH_4} is the bulk concentration of methane, which was constant amount of 20.4 mole/m³ in all experiments. Moreover, methane concentration at the interface of gas and plasma phase supposed to be zero (completely consumed) due to the very fast reactions at the plasma zone.

$$R_{\text{CH}_4} = K \cdot C_{\text{CH}_4} \cdot A_a \quad (1)$$

$$Sh = \frac{Kd_a}{D} = \alpha_0 \cdot Re^m, Re = \frac{\rho F_{\text{CH}_4}^{in} d_a}{\mu A} \quad (2)$$

In the above equations, A (m²) is cross-sectional area for the passing gas at vicinity of arc discharge and A_a (m²) is the active contact area between the gas and plasma. Sh and Re are Sherwood and Reynolds numbers. D (m²/s) is diffusion coefficient and α_0 is a constant. In addition, d_a (m) refers to the characteristic length and here it is defined as the discharge length which is 6 mm. Moreover, the physical properties are constant in all experiments. Accordingly, the mass transfer coefficient is obtained from Equation 3.

$$K = \alpha_0 D d_a^{m-1} \left(\frac{\rho F_{CH_4}^{in} d \alpha}{\mu A} \right)^m \quad (3)$$

The rate of methane consumption (mole/s) is determined by substituting K from Equation 3 into Equation 1 and accordingly methane conversion is given by Equation 4.

$$X_{CH_4} = \frac{R_{CH_4}}{F_{CH_4}^{in}} \times 22400 \times 60 = \alpha_0 D d_a^{m-1} \left(\frac{\rho}{\mu} \right)^m C_{CH_4} (F_{CH_4}^{in})^{m-1} \frac{A_a}{A^m} \quad (4)$$

At constant operating conditions as well as a constant cross-sectional area for the passing gas, methane conversion would simplify to Equation 5, which α_1 is a constant pre-factor.

$$X_{CH_4} = \alpha_1 (F_{CH_4}^{in})^{m-1}, \alpha_1 = \text{cte} \quad (5)$$

According to the Equation 5, methane conversion would be a power function of feed flow rate. Moreover, the values of α_1 and ($m-1$) for each cross-sectional area may be determined by applying curve-fitting to experimental data. According to the fitted parameters, the value of m is approximately 0.55. Therefore, methane conversion is written as Equation 6, which shows its dependency to active surface area of plasma zone (A_a) at each cross sectional area.

$$X_{CH_4} = \alpha_0 D d_a^{-0.45} \frac{\rho^{0.55}}{\mu} C_{CH_4} (F_{CH_4}^{in})^{-0.45} \frac{A_a}{A^{0.55}} \quad (6)$$

According to the experimental results, at constant feed flow rate there was just a slight variation in methane conversion by changing the cross-sectional area for the passing gas. This implies that $A_a/A^{0.55} = \text{cte}$, i.e. the active surface area of the plasma zone is proportional to $A^{0.55}$ (approximately the square root of the cross-sectional area for the passing gas).

Subsequently, the mass transfer correlation is expressed as Equation 7 in which the Reynolds number is less than 5 at the range of feed flow rates and cross-sectional area for the passing gas in the present study.

$$Sh = K_d D = \alpha_0 Re^{0.55}, Re < 5 \quad (7)$$

The rate of methane decomposition may be presented as an pseudo-first order reaction as Equation 9 where k_{app} represents the apparent rate constant of methane decomposition in plasma reactor and is obtained as Equation 9.

$$R_{CH_4} = k_{app} \cdot C_{CH_4} \cdot V_p \quad (8)$$

$$k_{app} = [\alpha_0 D (d_a)^{m-1} \left(\frac{\rho}{\mu} \right)^m (F_{CH_4}^{in})^m \frac{A_a}{A^m}] / V_p \quad (9)$$

The apparent kinetic constant, k_{app} , as function of feed flow rate at different cross sectional areas is shown in Fig. 3. In general, if the process behavior is controlled by the mass transfer phenomena, then the apparent rate constant should increase with feed flow rate. The apparent rate constant coefficient is in the order of 200-450 s⁻¹, which is increased by increasing the feed flow rate.

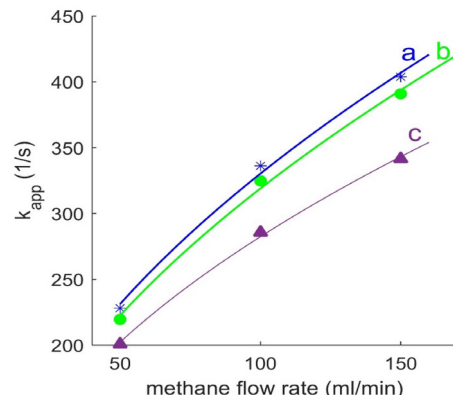


Fig. 3 The apparent kinetic constant, k_{app} , as function of feed flow rate at different cross sectional areas.

Conclusions

Decomposition of methane in a rotating arc plasma reactor with different cross-sectional areas for the passing gas was studied. The reactor design ensures stable plasma and uniform gas treatment to achieve effective methane conversion. In addition, effect of cross-sectional area for the passing gas, angular velocity of arc stream and feed flow rate were examined. Moreover, it is concluded that rotating arc shows a better performance with a relatively higher energy yield compared to the stationary arc, especially at higher cross-sectional areas for the passing gas. Also, experimental results showed that 95% hydrogen selectivity and 28 gH₂/kWh energy yield is achieved under stable conditions despite solid carbon formation. Furthermore, the residence time of reactant is estimated to be 0.2-3.9 s which is much higher than time scale of plasma chemistry process. Therefore, it is concluded that mass transfer is the main rate controlling factor at the range of feed flow rate in this study. Moreover, methane conversion is simulated to be the fraction of methane transferred toward the plasma zone. Ultimately, on this basis, a mass transfer reaction model is proposed, and a mass transfer correlation is obtained that relates the apparent reaction rate constant to the square root of Re number. In addition, active surface area of rotating arc plasma is proportional to the square root of the cross-sectional area for the passing gas at the vicinity of arc discharge.

Nomenclatures

FID: Flame ionization detector

TCD: Thermal conductivity detector

References

- Lee, D. H., Song, Y. H., Kim, K. T., & Lee, J. O. (2013). Comparative study of methane activation process by different plasma sources. *Plasma Chemistry and Plasma Processing*, 33, 647-661.
- Farouk, T., Farouk, B., & Fridman, A. (2010). Computational studies of atmospheric-pressure methane-hydrogen DC micro glow discharges.

- IEEE Transactions on plasma science, 38(2), 73-85.
3. Fincke, J. R., Anderson, R. P., Hyde, T., Detering, B. A., Wright, R., Bewley, R. L., Haggard, D.C. & Swank, W. D. (2002). Plasma thermal conversion of methane to acetylene. *Plasma Chemistry and Plasma Processing*, 22, 105-136.
4. Kim, H. H., Teramoto, Y., Ogata, A., Takagi, H., & Nanba, T. (2016). Plasma catalysis for environmental treatment and energy applications. *Plasma Chemistry and Plasma Processing*, 36, 45-72.